

TEMA 2

EXAMEN INTEGRADOR FÍSICA II

(nueve)

7 DE FEBRERO DE 2019

Nombre y Apellido:

Padrón:

Física II A B/82.02 (marcar lo que corresponda)Cuatrimestre y año: 1^{er} C 2018

JTP: Borda, Leonardo

Profesor: Pérez, Liliana

e-mail

Justificar cada una de las respuestas. $\varepsilon_0 = 8.85 \cdot 10^{-12} \text{ C}^2/\text{m}^2\text{N}$, $\mu_0 = 4\pi \cdot 10^{-7} \text{ Tm/A}$, $R = 8.32 \text{ Pa.m}^3/\text{mol.K}$

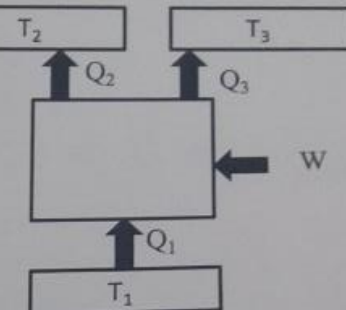
HACER LOS PROBLEMAS EN HOJAS SEPARADAS

Problema 1 (solo Física II A y 82.02): La máquina de la figura recibe un trabajo W para poder absorber 4000J de calor de una heladera y mantenerla a 7°C. La máquina entrega calor a dos fuentes: 3000 J a una fuente a 727 °C y 5000J a otra a 162 °C.

- Demostrar que esta máquina podría funcionar a través de la Desigualdad de Clausius.
- Calcule la eficiencia o rendimiento (según corresponda). Discuta si sería deseable mejorar este valor y, en ese caso, cómo podría hacerlo.
- ¿Debería hacer algún o algunos cambios para poder usarla como un motor? Discuta.

Problema 1 (solo Física II B)

- A partir de la Ley de Gauss generalizada, deduzca la relación entre las componentes de los campos eléctricos a un lado y a otro de una interfaz formada por vacío y un medio dieléctrico de permitividad ϵ . Suponga que la interfaz tiene cargas libres distribuidas sobre la misma.
- A partir de la Ley de Faraday para campos electrostáticos, deduzca la relación entre las componentes de los campos eléctricos a un lado y a otro de una interfaz formada por vacío y un medio dieléctrico de permitividad ϵ . Suponga que la interfaz tiene cargas libres distribuidas sobre la misma.
- A partir de lo obtenido en a), determine con cuántos nC está cargada la placa conductora de un capacitor plano de área $A=20\text{cm}^2$ y separación entre placas $d=2\text{mm}$, sabiendo que la diferencia de potencial entre sus placas es de 10V y que el espacio entre placas está lleno de un material de permitividad relativa igual a 40. Justifique las aproximaciones realizadas.



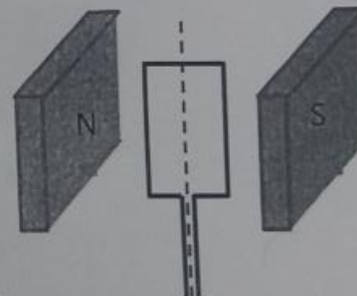
Problema 2: Un capacitor de capacidad C , descargado inicialmente, se pone a cargar con una batería de tensión V_0 a través de una resistencia R . Determine:

- cómo varía la carga del capacitor en función de tiempo. Grafique y discuta.
- cómo varía la corriente del circuito en función del tiempo. Grafique y discuta.
- la energía disipada en la resistencia y la energía almacenada en el capacitor durante la carga del capacitor. Relacione con la potencia entregada por la batería.

Problema 3: Una espira rectangular de lados a y b , que puede girar libremente alrededor del eje que pasa por su centro, está ubicada en una zona de campo magnético uniforme generado por un imán permanente. Explique detalladamente

- cómo utilizar este dispositivo para generar corriente alterna sinusoidal de frecuencia f .
- cómo debe utilizar este dispositivo para usarlo como un motor.

En ambos casos establezca cuáles son los principios básicos de la Electricidad y Magnetismo para explicar su funcionamiento.



Problema 4: Se hace circular una corriente I por toroide de sección cuadrada, de radio interno igual a 30cm y radio externo igual a 32 cm. que tiene N vueltas de alambre conductor arrollado. El toroide tiene un entrehierro de espesor $e=2\text{mm}$. Luego se corta la corriente. Determinar, explicando y justificando, los vectores \vec{B} , \vec{H} y \vec{M} en todo el espacio después de cortar la corriente si el toroide

- está fabricado con un material paramagnético.
- está fabricado con un material ferromagnético duro.

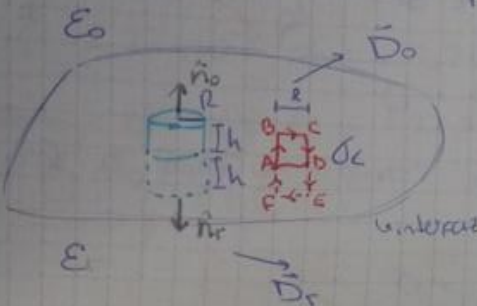
En ambos casos haga un esquema de los vectores magnéticos en el toroide y un gráfico de la densidad de magnetización M como función de la corriente aplicada I

① a. La ley de Gauss generalizada es

Si se tiene una interfaz

como la mostrada en la figura

$$\oint_S \vec{D} \cdot d\vec{S} = Q_{\text{enc}}^{\text{pars}}$$



Tomando una superficie gaussiana como la indicada, donde $h \gg 0$, puedo aplicar la ley de Gauss generalizada, obteniendo que:

$$\oint_S \vec{D} \cdot d\vec{S} = \iint_{\text{cota}} \vec{D} \cdot d\vec{S}_{\text{cota}} + \iint_{\text{cadr}} \vec{D} \cdot d\vec{S}_{\text{cadr}} + \iint_{T_0} \vec{D} \cdot d\vec{S}_{T_0} + \iint_{T_r} \vec{D} \cdot d\vec{S}_{T_r}$$

$$\oint_S \vec{D} \cdot d\vec{S} = D_{T_0} 2\pi Rh + D_{T_r} 2\pi Rh + D_{n_o} \pi R^2 + D_{n_r} \pi R^2 \quad \textcircled{1}$$

Como $h \gg 0$, aproximo

Luego, analizo la otra parte de la igualdad

$$Q_{\text{enc}, S} = \sigma_L \pi R^2 \quad \textcircled{2}$$

Entonces, igualando \textcircled{1} y \textcircled{2}, obtengo:

$$D_{n_o} \pi R^2 + D_{n_r} \pi R^2 = \sigma_L \pi R^2$$

Como además, observo que $n_o = -n_r = n$

$$(D_r + D_o) \hat{n} = \sigma_L$$

Como se supone que el medio dielectrico es lineal, isotropo y homogeneo, vale la relacion:

$$D_r = \epsilon_r E_r \quad \text{y para el vacio} \Rightarrow D_o = \epsilon_0 E_0$$

Reemplazando:

$$(\epsilon_r \epsilon_0 |E_r| + \epsilon_0 |E_0|) \hat{n} = \sigma_L$$

$$(\epsilon_r \epsilon_0 + \epsilon_0) \hat{n} = \frac{\sigma_L}{\epsilon_0}$$

Juega plato

b. La ley de Faraday dice que:

$$\oint \vec{E} \cdot d\vec{l} = -\frac{d}{dt} \iint \vec{B} \cdot d\vec{S}$$

como se supone a los

campos electrostáticos, obtengo que: $\oint \vec{E} \cdot d\vec{l} = 0$
 Ya que no hay variaciones del campo magnético en función del tiempo.

Tomo la curva indicada en el gráfico del punto ①.

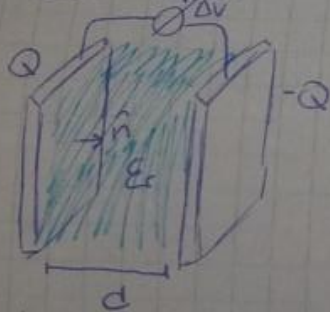
$$\oint \vec{E} \cdot d\vec{l} = \int_A^B E_0 \hat{n} \cdot d\vec{l} + \int_B^C E_{tan} \hat{t} \cdot d\vec{l} + \int_C^D E_0 \hat{n} \cdot d\vec{l} (-\hat{n}) + \int_D^E E_r \hat{n} \cdot d\vec{l} + \int_E^F E_{tan} \hat{t} \cdot d\vec{l} + \int_F^G E_r \hat{n} \cdot d\vec{l} (-\hat{n}) = 0$$

Observo que los términos del campo normal a la interfaz se cancelan entre sí.

$$\oint \vec{E} \cdot d\vec{l} = E_0 \text{ tang. } l - E_r \text{ tang. } l = 0$$

↳ $E_0 \text{ tang. } l = E_r \text{ tang. } l$

El campo eléctrico tangencial, se conserva en la interfaz
 c) Si se tiene un capacitor de placas planas paralelas del tipo:



Como se puede observar que el área de las placas es mucho mayor que la distancia entre ellas ($A \gg d$), si se toma el campo eléctrico en un punto interno del capacitor, lejos de los bordes, pueden considerarse estas placas infinitas y

despreciarse los efectos de borde producidos.

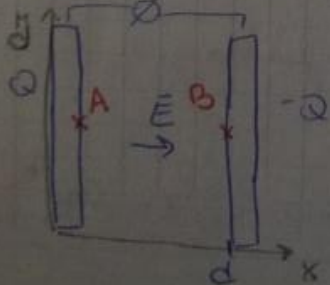
Como se trata de una placa conductora, al calcular el campo eléctrico con lo obtenido en ①

$$(E_r + E_0) \hat{n} = \frac{\sigma_c}{\epsilon_0}, \text{ siendo } E_0 \cdot \hat{E}_c = 0$$

Se encuentra entonces que:

↳ por definición de conductor

$E = \frac{\sigma_c}{\epsilon_0 \epsilon_s} \hat{n}$ esta dirección \hat{n} es la perpendicular a la placa. Se obtiene un resultado independiente de la posición con respecto a la placa.



Como se trata de placas conductoras (equipotenciales), puedo calcular la diferencia de potencial desde cualquier posición de estas.

Por definición: $\Delta V = \int_A^B E \cdot d\vec{l}$

$$[\Delta V], V = \frac{N}{C} \cdot m$$

$$\Delta V = \int_0^d \frac{\sigma_L}{\epsilon_0 \epsilon_r} \hat{x} \cdot dx \hat{x} = \frac{\sigma_L}{\epsilon_0 \epsilon_r} d$$

$$\text{Si } \Delta V = 10 \text{ V} \Rightarrow \sigma_L = \frac{\Delta V \epsilon_0 \epsilon_r}{d} = \frac{10 \text{ V} \cdot 8,85 \cdot 10^{-12} \text{ C}^2/\text{Nm} \cdot 40}{0,002 \text{ m}}$$

$$\sigma_L = 1,77 \cdot 10^{-6} \text{ C/m}^2 = 1,77 \mu\text{C/m}^2$$

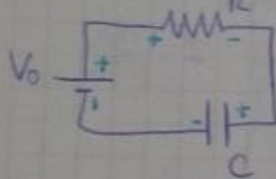
$$\text{Como } Q = \sigma_L \cdot A = 1,77 \mu\text{C/m}^2 \cdot 0,2 \text{ m}^2 = 3,54 \cdot 10^{-9} \text{ C}$$

$$Q = 354 \text{ nC}$$

En el la cunte

$$20 \text{ cm}^2 = 20 (10^{-2} \text{ m})^2$$

② Se posee el siguiente circuito:



Se sabe que el capacitor se encuentra inicialmente descargado, es decir:

$$Q_0 = 0 \quad Q(t=0)$$

a) Si tomo una malla por ley de Kirchoff en el circuito, obtengo que:

~~Asimismo~~ $V_0 - V_R(t) - V_C(t) = 0 \rightarrow$ ya que la corriente varía con el tiempo

$$V_0 = i(t)R + \frac{Q(t)}{C}$$

Como la corriente está definida como: $I = \frac{dq}{dt} \rightarrow$

$$V_0 = \frac{dQ}{dt} R + \frac{Q}{C} \rightarrow \text{Resuelvo}$$

$$\frac{[V_0 - \frac{Q}{C}]}{R} = \frac{dq}{dt} \rightarrow dt = dQ \frac{R}{[V_0 - \frac{Q}{C}]}$$

$$\int_0^t dt = \int_0^{Q(t)} \frac{R}{[V_0 - \frac{Q}{C}]} dQ \rightarrow t = \int -\frac{R}{C} dw = -R \ln(\omega) \mid$$

l realizando un cambio de variables: $\omega = V_0 - \frac{Q}{C} \quad dw = -dq$

Reemplazando:

$$t = -R \ln[V_0 - \frac{Q}{C}] \Big|_0 \rightarrow t = -R \left[\ln[V_0 - \frac{Q(t)}{C}] - \ln[V_0] \right]$$

$$t = -R \ln \left[\frac{V_0 - \frac{Q(t)}{C}}{V_0} \right] \rightarrow -t/R = \ln \left[\frac{V_0 - \frac{Q(t)}{C}}{V_0} \right]$$

$$V_0 e^{-t/R} = V_0 - \frac{Q(t)}{C} \rightarrow \frac{Q(t)}{C} = V_0 - V_0 e^{-t/R}$$

$$Q(t) = CV_0 \left[1 - e^{-t/R} \right]$$

$$\text{Si } t=R \Rightarrow Q(t) = 0,63 CV_0$$

$$\text{Si } t=2R \Rightarrow Q(t) = 0,86 CV_0$$

$$\text{Si } t=4R \Rightarrow Q(t) = 0,98 CV_0$$

$$\text{Si } t=5R \Rightarrow Q(t) = 0,99 CV_0$$

$$t=3R \Rightarrow Q(t) = 0,995 CV_0$$

$$t=7R \Rightarrow Q(t) = 0,999 CV_0$$



Puedo observar que la carga aumenta con el tiempo como es esperado, inversamente a una exponencial. Llega un punto que se carga lentamente en función del tiempo, pero inicialmente se carga rápidamente.

b) Como la corriente está definida como: $I = \frac{dq}{dt}$

$$I(t) = \frac{dq(t)}{dt} \Rightarrow i(t) = \frac{d}{dt} [CV_0[1 - e^{-t/R}]]$$

$$i(t) = -CV_0 \cdot \frac{1}{R} e^{-t/R} = \frac{CV_0}{R} e^{-t/R}$$

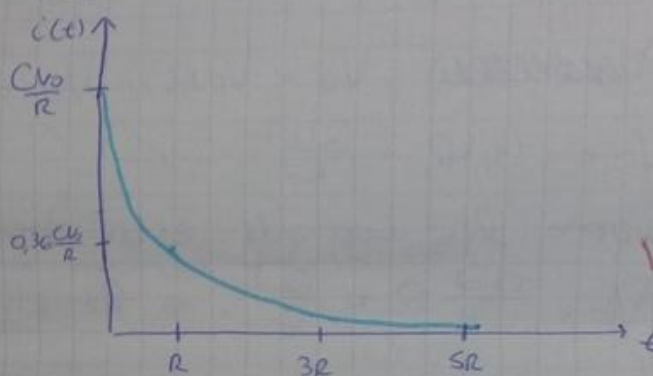
$$i(t) = \frac{CV_0}{R} e^{-t/R}$$

$$t=0 \rightarrow i(t) = \frac{CV_0}{R}$$

$$t=R \rightarrow i(t) = 0,37 \frac{CV_0}{R}$$

$$t=3R \rightarrow i(t) = 0,05 \frac{CV_0}{R}$$

$$t=5R \rightarrow i(t) = 0,004 \frac{CV_0}{R}$$



Observo que la corriente inicialmente es máxima al conectar la batería, pero luego esta decrece rápidamente mientras se carga el capacitor. Hasta se carga nula cuando el capacitor está completamente cargado.

c) $P_{\text{disip}} = \text{potencia disipada en la resistencia}$

$$\frac{dU}{dt} = P_{\text{disip}} = i(t) V_R(t) = i^2(t) R = \frac{C^2 V_0^2}{R^2} R e^{-t^2/R}$$

$$\int_{U_i}^{U_f} dU = \int_0^t \frac{C^2 V_0^2}{R} e^{-t^2/R} dt \rightarrow \Delta U = \frac{C^2 V_0^2}{R} \cdot \frac{R}{2} [e^{-t^2/R} - 1]$$

$$\Delta U_{\text{disip}} = -\frac{C^2 V_0^2}{2} [e^{-t^2/R} - 1] > 0 \quad t \rightarrow \infty \quad \frac{1}{2} C V_0^2$$

Luego, la potencia entregada por la batería es:

$$P_{\text{entr}} = i(t) V_0 = \frac{C V_0^2}{R} e^{-2t/R}$$

La energía almacenada en el capacitor está dada por:

$$P_C = \frac{dU}{dt} = P_C \cdot i(t) \cdot V_C(t) = i(t) \frac{Q(t)}{C}$$

$$P = \frac{CV_0}{R} e^{-t/R} [CV_0(1 - e^{-t/R})] = \frac{CV_0^2}{R} (e^{-t/R} - e^{-2t/R})$$

$$\Delta U_c = \frac{CV_0^2}{R} \left[\int_0^t e^{-\epsilon/R} d\epsilon - \int_0^t e^{-2\epsilon/R} d\epsilon \right]$$

$$\Delta U_c = \frac{CV_0^2}{R} \left[-R(e^{-t/R}) + \frac{R}{2}(e^{-2t/R}) \right]$$

$$\Delta U_c = \cancel{\frac{CV_0^2}{R}} \left[\frac{(e^{-2t/R})}{2} - (e^{-t/R}) \right] > 0$$

$$\int_0^\infty \frac{1}{2} CV_0^2 e^{-2t/R} dt$$

Observo que a medida que pasa el tiempo, la energía disipada por la resistencia disminuye, ya que, hasta $t = R/2$, la energía disipada aumenta, luego, esta comienza a disminuir. Para el capacitor, la energía almacenada es siempre positiva y va aumentando a medida que aumenta t .

La potencia entregada por la batería debe ser:

$$P_{entregada} = P_{dissip} + P_{cap.}, \text{ ya que } \sum P_i = 0$$

Mas como la única potencia entregada es por la batería, las otras son dissipadas. El C ~~acumula~~ acumula.

Falte redondear

③ Se tiene una espira rectangular que puede girar dentro de un campo magnético.

a) Si se requiere generar una corriente alterna, como la espira posee libre rotación, puede transformarse energía mecánica en energía eléctrica (principio de un generador). Si se rota la espira que se halla en un campo magnético se está variando el flujo magnético, ya que, va variando la superficie de la espira en el tiempo.

$$\Phi_m = \oint \vec{B} \cdot d\vec{S}$$

de la espira

En el caso presentado en la figura ① el flujo es máximo, ya que la dirección del campo es paralela al diferencial de superficie de la espira. En este caso $\varphi = 0$ y el ~~flujo~~ está dado

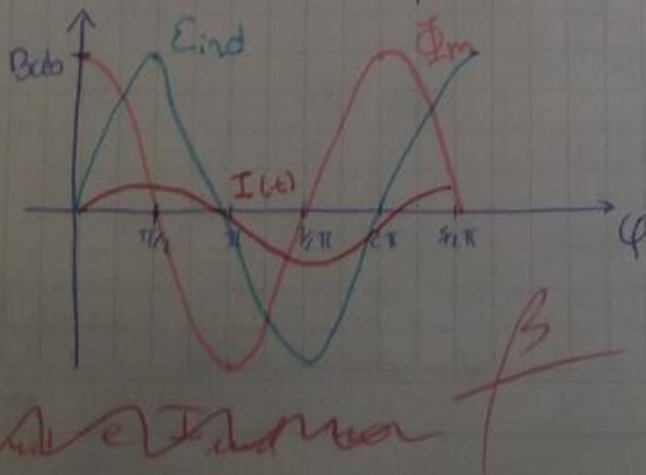
por: $\oint \vec{B} \cdot d\vec{S} = B_{ext} \cdot A \rightarrow$ para que esto suceda, y como el área varía con $\varphi \Rightarrow \Phi_m = B_{ext} A \cos \varphi$

Por lo tanto, definimos $\varphi = \omega t$, siendo $t_0 = 0$.

\Rightarrow La fem (fuerza electromotriz) inducida por esta variación del flujo es

$$E_{ind} = -\frac{d\Phi_m}{dt} = B_{ext} A \frac{d}{dt} [\cos \omega t] = B_{ext} A \omega \sin(\omega t)$$

Esta fem, creará una corriente tal que genere un campo magnético B_{ind} que contrarreste la variación del campo externo, intentando que el flujo se mantenga constante



Se obtiene entonces una corriente que varía con el tiempo (alterna) de frecuencia

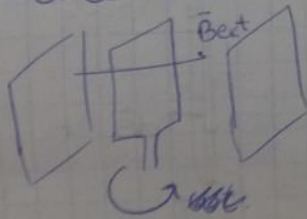
$f = \frac{\omega}{2\pi}$, rotando la espira (se requiere si así de la espira para que genere la corriente \rightarrow por donde circula)

(b) Si se desea utilizar al dispositivo como un motor, se debe hacer pasar una corriente por la espira, de forma que el momento magnético genere una rotación en la misma y se obtenga energía mecánica a partir de energía eléctrica.

$$\text{Como } \vec{m} = IA\hat{n} \Rightarrow \vec{\tau} = \vec{m} \times \vec{B}$$

Independientemente de donde se tome el torque si la sumatoria de las fuerzas es nula ($\sum \vec{F} = 0$). *mal enunciado*

Si \vec{m} no está alineado con el campo, se genera un torque que trata de alinearlo y, de esta forma, se produce una rotación de la espira. Esta misma rotación es la ~~que~~ energía mecánica que luego genera el motor.

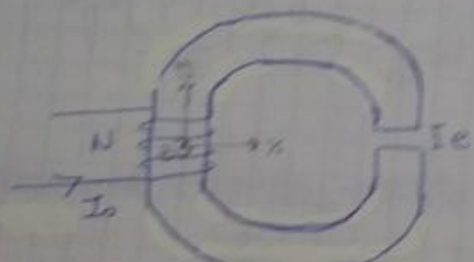


Falto decir que \Rightarrow Flauta

④ Se posee un toroide ~~uniformemente~~, cuyo radio medio

$$R_m = 31 \text{ cm}$$

Se puede realizar esta aproximación
ya que el mismo es muy ancho
Posee un entrehueso $e = 0,002 \text{ m}$



Tomo arbitrariamente un sentido para la corriente I_o .

a. fuera del toroide y del entrehueso no hay campo magnético, ya que, el mismo se genera con la corriente I_o y circula dentro del toroide.

Observo la dirección del campo a partir de la ley de Biot y Savart

$$\vec{B}(r) = \frac{\mu_0}{4\pi} \int I d\ell \times (\vec{r} - \vec{r}') / |\vec{r} - \vec{r}'|^3$$

Como $d\ell = dz - z$ y $(\vec{r} - \vec{r}')$ es el vector \vec{r}

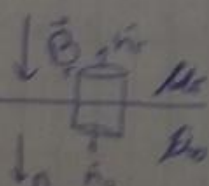
Observo que el campo generado va a poseer dirección \hat{z}
y como están relacionados \vec{B} , \vec{H} y \vec{A} mediante:

$\vec{B} = \mu_0 (\vec{H} + \vec{A})$, observo que los tres ~~sentidos~~ poseen la misma dirección (no necesariamente el mismo sentido)

~~sentido de los sentidos~~

Observo que el campo magnético se conserva en el entre hueso, ya que:

$$\oint \vec{B} \cdot d\vec{s} = 0 \rightarrow \text{ya que no hay monopólos magnéticos, y las curvas de } \vec{B} \text{ son cerradas}$$



$$\oint B_r \frac{dS_r}{n_r} + \oint B_o \frac{dS_o}{n_o} = 0$$

$$-B_r (n_r) + B_o (n_o) = 0$$

$$\Rightarrow B_r = B_o$$

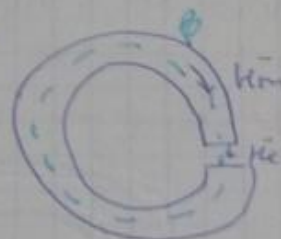
El campo magnético \vec{B} pasa la misma dirección y sentido en el material y en el entrehueso

Observo que coincide con A

$\oint \vec{H} \cdot d\vec{l} = I_r = 0$ porque no hay corriente

$$H_m(2\pi R_m - e) + H_e e = 0$$

Como $B_m = B_e$ y en el entrehierro hay vacío, se cumple: $B_e = \mu_0 H_e$



Resumiendo, ~~se cumple la ecuación de Maxwell~~, ~~se cumple la ecuación de Maxwell~~



$$H_m = \mu_0 \text{per} \neq B_m = B_e \Rightarrow B = 0$$

$$H_m = \frac{-H_e e}{(2\pi R_m - e)} \quad \text{y} \quad 2\pi R_m > e \Rightarrow H_m \text{ tiene dirección}$$

contraria a la del entrehierro, se dice que H_m se da vuelta al no circular corriente.

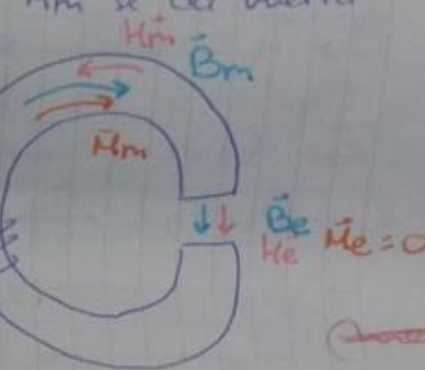
Para que se cumpla que:

$$B_m = \mu_0 (H_m + H_m) \quad B = H = M = 0$$

cuando $I=0$

↳ H_m debe tener la misma dirección que B_m

Y como no hay material que pueda magnetizarse en el entrehierro, $H_e = 0$.



↳ Mal! → ferromagnético sigue en la otra

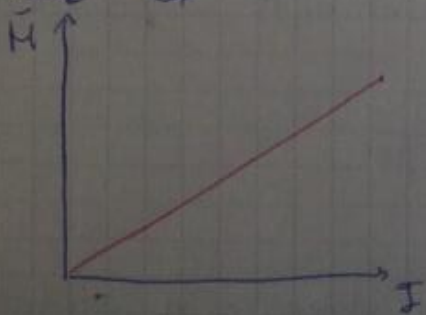
b) Si el material se trata de un ferromagnético, al quitar la corriente, el mismo que da con un $B_{remanente}$, generando así un imán.

Y no se cumple la relación lineal: $B = \mu H$

Como el vector $M = N \cdot I \cdot A \hat{n}$

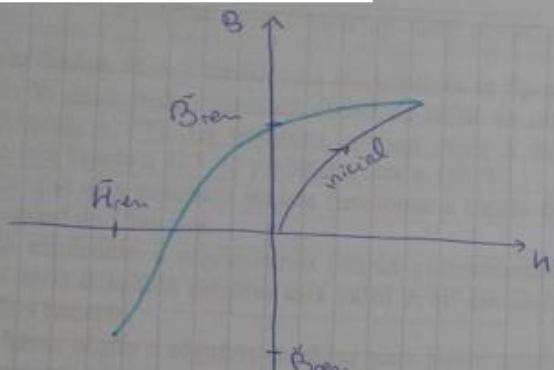
llegación

El mismo aumenta linealmente con la corriente, ~~sigue en la otra~~



Entonces es una contradicción.
Muestra que el fenómeno que H

Para un material ferromagnético, se tiene que el mismo sigue un ciclo de histeresis.



Al quitar la corriente

Por lo tanto, el campo no es nulo al quitar la corriente, sino que posee un campo remanente y se obtiene el caso estudiado anteriormente en ^{a)}

- ^{a)} Para un material paramagnético (el cual \bar{m} se alinea en sentido contrario al campo y este por ende aumenta) se tiene que, como \bar{B} depende directamente de la corriente, ya que si utilizo la ley de Ampere

$$\oint \bar{H} \cdot d\ell = I_r$$

↳ considera que hay corriente

$$\bar{H}_m (2\pi R_m) - e + \bar{H}_{ee} = i_r$$

$$\frac{\bar{B}_m}{\mu_0 \mu_r} (2\pi R_m - e) + \frac{\bar{B}_m}{\mu_0} e = i_r$$

$$\hookrightarrow \bar{B}_m = \frac{i_r \mu_0}{\left[\frac{(2\pi R_m - e)}{\mu_r} + e \right]} \quad (1)$$

$$\text{Si } i_r = 0 \Rightarrow \bar{B}_m = 0 \quad \text{y} \quad \bar{B}_m / \mu_0 \mu_r \bar{H}_m \Rightarrow \bar{H}_m = 0$$

Y se obtiene el

mismo resultado para \bar{H} .

Por lo tanto, no hay campos magnéticos si $i_r = 0$ en un material LIH.

$$\bar{B}_m - \bar{H}_m = \bar{M}_m = \frac{\bar{B}_m}{\mu_0} \left[1 - \frac{1}{\mu_r} \right] = \frac{i_r \mu_0 (1 - \frac{1}{\mu_r})}{\left[\frac{(2\pi R_m - e)}{\mu_r} + e \right]}$$

Observo nuevamente que avanza linealmente con la corriente.

Ahora "arregla" las contradicciones

